

TITLE PAGE

2. Uebertemperatur in Kontaktkoernern.
Temperature in catalyst particles exceeding oven
temperature.

Frame Nos. 8 - 21

000008

Sonderdruck aus „Zeitschrift für physikalische Chemie“ 193, 10—28, 1943.
Akademische Verlagsgesellschaft Becker & Erler Kom.-Ges., Leipzig.

Übertemperatur in Kontaktkörnern.

Von

Gerhard Damköhler.

(Mit 1 Abbildung im Text.)

(Eingegangen am 27. 5. 43.)

Die höchstmögliche Oberflächenübertemperatur θ_{\max} in einem stationär arbeitenden Kontaktkorn ist unabhängig von der chemischen Reaktionsgeschwindigkeit U , sowie dem Kornradius R und wird allein bestimmt durch die Wärmeleitung Q , den inneren Diffusionskoeffizienten D_{ff} (nach E. Wicke), die innere Wärmeleitfähigkeit λ_i und die Außenkonzentration c_{fr} der Ausgangskomponenten. Das Innere eines Kontaktkorns verhält sich ähnlich wie der höchstmöglichen Über Temperatur anders als das Innere eines Kontaktrohrs, wo chemische Reaktionsgeschwindigkeit und Ofentemperatur sehr wohl von Bedeutung sind.

Die Forderung, auch noch die inneren Kontaktkornteilchen für den chemischen Umsatz auszunutzen, ist gleichbedeutend mit der Forderung, im Kontaktkorn möglichst bothern zu arbeiten, und umgekehrt.

Es werden für fünf Systeme die höchstmöglichen Kontaktkornüberhitzungen abgeschätzt und in sämtlichen Fällen nur wenige °C gefunden: Das Kontaktkorn erhitzt also praktisch keine Überhitzungen. Wohl aber können solche an den aktiven Zentren selbst auftreten, wenn nämlich die an ihnen freigesetzte Wärme zu langsam ausgetragen wird.

Ein arbeitendes Kontaktkorn hat in seinem Inneren eine Ober- oder Untertemperatur, je nachdem exotherme oder endotherme Reaktionen in ihm ablaufen. Die Kenntnis der Temperaturunterschiede in einem Kontaktkorn kann in zwei Fällen von praktischer Bedeutung sein:

1. wenn die interessierende Reaktion sehr von der Temperatur abhängt und bei falscher Einstellung derselben unerwünschte Neben- und Folgereaktionen auftreten;
2. wenn das Kontaktkorn nahe an der gerade noch zulässigen Höchsttemperatur arbeitet, so daß eine Temperatursteigerung darüber hinaus zu einem Wegsintern der aktiven Zentren führt und damit die Leistungsfähigkeit des Körnes sinkt.

Natürlich wird man die wahre Temperatur eines aktiven Zentrums kaum feststellen können. Denn je älter ein solches ist, mit einer um so dünneren Brücke wird es mit dem Kontaktkornrohr verbunden sein. Bei sehr aktiven Zentren hat man unter Umständen nur

noch eine einzige chemische Bindung. Die wahre Arbeitstemperatur eines Zentrums, wenn man von einer solchen überhaupt noch reden darf, kann dann durchaus höher sein als die Gerüsttemperatur. Nur über die letztere wollen wir im folgenden Aussagen gewinnen.

Die Temperaturverteilung in einem Kontaktkorn wird durch drei Größen bestimmt: durch die Transportgeschwindigkeit der Ausgangsstoffe und Reaktionsprodukte, durch die chemische Reaktionsgeschwindigkeit an den aktiven Zentren und durch die Wärmeleitfähigkeit im Kontaktkorn. Uns interessiert die höchstmögliche Gerüsttemperatur, die sich in der Mittelstationär arbeitenden Kontaktkernes einstellt.

Wir betrachten ein kugelförmiges Kontaktkorn, das von Porenzylindern verschiedener Länge durchsetzt ist. An einem Porenende beginnen ein oder mehrere Porenzylinder, deren Längsachsen im allgemeinen auch neue Orientierungen besitzen. Im Mittel soll dort ein einzelner Porenzylinder mit der Radialrichtung den Winkel ϕ bilden. Von gleicher Größenordnung ist dann der entsprechende Winkel, der die Poren begrenzenden Gerüstsäule. An den Porenwänden, die mehr oder weniger zerklüftet sein können (vgl. die unten zitierten Arbeiten von E. Wicks), soll der chemische Umsatz stattfinden. Die entwickelte Reaktionswärme wird im wesentlichen über das Kontaktkorngerüst nach außen geleitet. Der Wärmetransport über die Gasmasse in den Poren kann wohl nicht vernachlässigt werden (oder bei hohen Drücken in die noch zu definierende effektive Wärmeleitfähigkeit λ_1 mit einbezogen werden). Der Stofftransport in den Poren erfolgt bei raumbeständigen Reaktionen, die ohne Veränderung der Gesamtzahl der Teilchen verlaufen, allein durch Diffusion. Sie vollzieht sich einerseits in der Gasphase der Poren, andererseits an deren Oberfläche¹⁾. Zwischen beiden soll sich in jedem Augenblick ein stationäres Adsorptionsgleichgewicht eingestellt haben. Je nach dem Verhältnis von freier Weglänge/Porendurchmesser muß nun bei dem ersten Diffusionsanteil unterscheiden zwischen gewöhnlicher und Knudsen'scher Diffusion. Bei nichtraumbeständigen Reaktionen überlagert sich dem Diffusionstransport noch eine reine hydrodynamische Strömung.

Wir führen jetzt die Bezeichnungen²⁾ ein:

r = radiale Punktkoordinate im kugelförmigen Kontaktkorn,

R = Kornradius,

¹⁾ G. DAUKÖTTEN, Z. physik. Chem. (A) 174 (1935) 292 bis 298. ²⁾ Sie sind möglichst an Chem. Ing. H., 1 (1937) 300ff. angelehnt.

- ζ = Porenvolumen in 1 cm³ des Körnens; (ζ) = cm³/cm³
 Γ = Oberflächenvolumen in 1 cm³ des Körnens
 ℓ = offene Porenfläche auf 1 cm² Kontaktkorn-Schuttfläche; (ℓ) = cm²/cm²
 ϑ = mittlerer Winkel zwischen Porenachse und jeweiliger Radialrichtung.
 c_j = Zahl der gasförmigen Moleküle der Art j in 1 cm³ Porenraum; (c_j) = mol/cm³
 $n_{j,i}$ = $c_i \cdot c_j$ = Zahl der gasförmigen Moleküle j in 1 cm³ des Körnens
 $n_{j,a}$ = $A_j n_{j,i}$ = Zahl der adsorbierten Moleküle j in 1 cm³ des Körnens
 A_j = $A_{j,a} + A_{j,g}$; $A_{j,a}$ = Adsorptionsfläche der Komponente j ,
 n_j = $n_{j,a} + n_{j,i} = c_j \zeta (1 + A_j)$ = Gesamtzahl der Moleküle j in 1 cm³ des Körnens
 $\sum c_j = c_1 + \sum n_j = n$
 \bar{r}_j = mittlere freie Weglänge der Moleküle j im unbegrenzten Gasraum
 v_j = mittlere Molekulargeschwindigkeit der gasförmigen Teilchen j
 $D_{j,g}$ = Diffusionskoeffizient der Teilchen j in der Gasphase; [$D_{j,g}$] = cm²/s,
 $D_{j,g} \approx \frac{k_B T}{\pi} \rightarrow D_j$ für $\bar{r}_j < 2 R_P$
 $D_{j,g} \approx \frac{8 R_P \bar{r}_j}{\pi}$ für $\bar{r}_j > 2 R_P$
 R_P = Potenzradius
 $D_{j,a}$ = Oberflächendiffusionskoeffizient der adsorbierten Moleküle nach M. VÖLKL; [$D_{j,a}$] = cm²/s
 $D_{j,e}$ = $D_{j,a} \cdot e^{-E_a / kT}$; E_a = Aktivierungsenergie für die oberflächendiffundierenden Teilchen j
 $D_{j,i}$ = effektiver innerer Diffusionskoeffizient der Teilchen j nach Gleichung (8); [$D_{j,i}$] = cm²/s
 v = lineare Stromungsgeschwindigkeit in den Poren
 v_r = effektive radiale Stromungsgeschwindigkeit im Korninneren nach Gleichung (9)
 U = sekundlicher Umsatz in 1 cm³ des Kontaktkornes; U gibt an, wie oft die Reaktion

$$(v_r) X_1 + (v_r) X_2 + \dots + (v_r) X_k + (v_r) X_{k+1} + Q_1 \quad (0)$$

In g-Molen ausgedrückt von links nach rechts je Sekunde und Kubikzentimeter abhängt [U] in mol/s·cm³

OberTemperatur in Kontaktkörnern.

19

 $\nu_j = \text{stochiometrische Umsetzszahl der Teilchen } j$ $\nu_j > 0$, wenn j bei der Reaktion von links nach rechts verschwindet. $\nu_j < 0$, wenn j bei der Reaktion von links nach rechts entsteht. $\nu_j = 0$, wenn j bei der Reaktion von links nach rechts unverändert bleibt. $\sum \nu_j = p$, $p = 0$ bei raumbeständigen Reaktionen. $\int r^2 dr \cdot U = U_K = \text{sekundärer Gesamtumsatz im Korn} \cdot [U_K] = \text{mol/s}$ $Q = \text{Wärmetönung} \cdot [Q] = \text{cal/mol}$ $\lambda = \text{Wärmeleitfähigkeit der kompakten Kontaktkörnerstruktur} \cdot [\lambda] = \text{cal/cm s grd}$ $\lambda_1 = \text{effektive Wärmeleitfähigkeit des Kernes nach Gleichung (1)} \cdot (\lambda_1) = \text{cal/cm s grd}$ $\theta = \text{OberTemperatur des Korninneren gegenüber der Kornoberfläche} \cdot (\theta = R)$ $\theta_0 \text{ bzw. } c_{\theta_0} = \text{Größen für } r=0$ $\theta_R \text{ bzw. } c_{\theta_R} = \text{Größen für } r=R, \text{ also } \theta_R=0$

Aus Betrachtgegenden brauchen wir für das kugelförmig angenommene Kontaktkorn nur den radiaalen Teilchen- und Wärmetransport zu betrachten. Er erfolgt durch konzentrische Kugelschichten. Durch eine Kugelfläche wandern von der Teilchenart j in der Sekunde allein durch Diffusion:

$$N_{\text{Diffusion}} = \frac{\Delta \theta}{dr} \cos \Phi \cdot (D_{ij} + A_j D_{ji}) + \cos \Phi \cdot w_j \quad (3)$$

Der erste $\cos \Phi$ rechts führt daher, daß das Konzentrationsgefälle längs der Porenachsen geringer ist als in der Radialrichtung. Der zweite $\cos \Phi$ berücksichtigt, daß ein senkrecht zur Porenachse gemessener Querschnitt von $\varepsilon \cos \Phi \text{ cm}^2$ gerade einer offenen Fläche von $\varepsilon \text{ cm}^2$ auf den obigen konzentrischen Kugelflächen entspricht. Zu diesem $\varepsilon \text{ cm}^2$ offener Fläche gehört aber, laut Definition 1, ein offenes Oberflächenanteil enthaltende Kontaktkornschnittfläche, durch welche gerade der betrachtete Diffusionsstrom fließt. w_j ist ein nicht genau angegebener Korrektionsfaktor für die Porenenden, wo nicht nur Verzweigungen und Richtungsänderungen, sondern auch Querschnittsänderungen auftreten können. Vermutlich wird w_j viel kleiner sein.

Großenordnung 0°C bis 1°C . Wir können jetzt für die Teilchenart j einen effektiven inneren Diffusionskoeffizienten D_{jj} definieren:

$$D_{jj} = (D_{jg} + A_j D_{js}) \cdot \xi \cos \phi \cdot v_D \quad (3)$$

und erhalten

$$\dot{N}_{\text{diffusion}} \approx - D_{jj} \frac{dy}{dr} \quad (4)$$

Dieser innere Diffusionskoeffizient wurde schon von E. WIECK¹⁾ benutzt und mit D_i bezeichnet. Gemessen hat ihn Wieck bei Aktivkohlen, Kieselgel, Ton und einer Glasfritte, wobei zwei Methoden angewendet wurden: für kleine Drucke und gut adsorbierende Stoffe die statische Messung der Ad.- bzw. Desorptionsgeschwindigkeit²⁾, für beliebige Drucke Messung der Diffusion durch ein eingekittetes Korn, das beiderseits von verschiedenen Gasen bzw. Gasmischungen beschickt wird. Bei 0°C und 1 Atm. ergaben sich D_{jj} -Werte, die etwa $\frac{1}{2}$ bis $\frac{2}{3}$ des Diffusionskoeffizienten D_j in der unbegrenzten Gasphase ausmachten. Eine solche Verkleinerung bewirkt also der Faktor $\xi \cos \phi \cdot v_D$. In Gleichung (3). Außerdem kommt Wieck zufolge, daß bei 1 Atm. ein wesentlicher Teil von D_j auf Oberflächendiffusion beruht.

Bei nicht raumbeständigen Reaktionen tritt in den Poren noch eine hydrodynamische Strömung auf. Der durch sie bedingte sekundliche Teilchentransport beträgt je Kubikzentimeter konzentrischer Kugelstache:

$$\dot{N}_{\text{strömung}} = c_j v \xi \cos \phi \approx r_j v_j \quad (5)$$

wenn wir analog zum Diffusionskoeffizienten D_{jj} eine innere Radialgeschwindigkeit

$$v_j \approx v \xi \cos \phi \quad (6)$$

einführen.

Berücksichtigen wir noch den sekundlichen Umsatz in 1 cm³ des Körnes, so ergibt sich bei statischer Arbeitsweise für die Molzahländerung der Teilchenart j :

$$0 \approx \frac{dn_j}{dt} \approx - p_j U + D_{jj} \frac{1}{r^2} \frac{\partial}{\partial r} \left(r^2 \frac{\partial c_j}{\partial r} \right) - \frac{1}{r^2} \frac{\partial}{\partial r} (r^2 c_j v_j) \quad (7)$$

Addiert man zu Gleichung (7) die entsprechenden Gleichungen für die anderen Teilchenarten, so lieben sich definitionsgemäß die Diffusionsbeiträge heraus, und wir erhalten:

$$0 \approx \frac{dn}{dt} \approx - p U - \frac{1}{r^2} \frac{\partial}{\partial r} (r^2 c v) \quad (8)$$

¹⁾ E. WIECK, Kolloid-Z. 89 (1939) 167 bis 180, 200 bis 219; 93 (1940) 120 bis 137; E. WIECK und H. KALLNBACH, Kolloid-Z. 97 (1941) 195 bis 211. ²⁾ O. DAMKÖHLER, Z. physik. Chem. (A) 114 (1935) 929 bis 938.

Durch Integration dieser Gleichung kann man die radiale Stromgeschwindigkeit v_R an der Körnoberfläche ($r=R$) auf den sekundären Gesamtstrom im Korn U_K zurückführen:

$$4\pi R^2 v_R = \nu U_K \quad (9)$$

Dann aber können wir eine obere Grenze für die jeweiligen v_i im Korn abschätzen, weil sicher $Q \ll [v_i v_i] < [\nu v_R]$ ist.

Der sekundäre Wärmefluß durch 1 cm^2 einer konzentrischen Kugelfläche beträgt

$$\vec{Q} = -\frac{\partial \vartheta}{\partial r} \cos \vartheta \cdot \lambda \cdot (1-\xi) \cos \vartheta \cdot w_i \quad (10)$$

oder, wenn wir eine effektive Wärmeleitfähigkeit des Korninneren

$$\lambda_i = \lambda (1-\xi) \cos^2 \vartheta \cdot w_i \quad (11)$$

einfügen, schließlich

$$\vec{Q} = -\lambda_i \frac{\partial \vartheta}{\partial r} \quad (12)$$

λ_i ist experimentell bisher noch nicht bestimmt worden, so daß wir vorläufig auf Schätzungen angewiesen sind. Da die geometrischen Faktoren in den Ausdrücken (3) und (11) ähnlich sind, wäre

$$\frac{\lambda_i}{D_{ji}} \approx D_{ji} + \lambda_j D_{ji} \quad (13)$$

denkbar, doch ist selbstverständlich eine direkte experimentelle Bestimmung vorzuziehen. Einen Weg hierzu zeigen die Endgleichungen (17) und (18) dieser Arbeit. Die effektive Wärmedurchlässigkeit λ_i eines Körns wie die entsprechende Quaderdurchlässigkeit D_{ji} zu bestimmen (R. Wierc, loc. cit.), ist leider nicht möglich, weil sich der Wärmefluß um das Korn herum nicht durch eine „Kittung“ unterbinden läßt.

In Analogie zu Gleichung (7) erhalten wir schließlich als Wärmebilanzequation der Volumeneinheit eines stationär arbeitenden Kontaktkörnens:

$$Q = QH + \lambda_i \frac{1}{r^2} \frac{\partial}{\partial r} \left(r^2 \frac{\partial \vartheta}{\partial r} \right), \quad (14)$$

Aus (7) und (14) kann man einen einfachen Zusammenhang zwischen Temperatur- und Konzentrationsverlauf im Kontaktkorn herstellen:

$$Q = \lambda_i \frac{\partial}{\partial r} \left(r^2 \frac{\partial \vartheta}{\partial r} \right) + Q D_{ji} \frac{\partial}{\partial r} \left(r^2 \frac{\partial \vartheta}{\partial r} \right) - \frac{\theta}{\nu_f} \frac{\partial}{\partial r} \left(r^2 \nu_f \vartheta_i \right). \quad (15)$$

Oder durch einmalige Integration

$$Q = \lambda_i \frac{\partial \vartheta}{\partial r} + \frac{Q D_{ji}}{\nu_f} \frac{\partial \vartheta}{\partial r} - \frac{Q \nu_f \vartheta_i}{\nu_f} \quad (16)$$

Diese Beziehungen hätte man auch direkt aus den Transportgleichungen (4), (5) und (12) herleiten können. Nochmalige Integration liefert unter Berücksichtigung von $v_R = 0$ für die Übertemperatur in der Kornmitte unter Benutzung des Ausdrückes (9):

$$\theta_s = \frac{Q D_{j1}}{v_j l_i} (c_{jR} - c_{j0}) + \frac{\pi U_k Q}{4 \pi R^2 v_j l_i} \int_0^R \frac{c_{j1}}{c_{j1} - c_{j0}} dr. \quad (17)$$

In dieser Gleichung verschwindet für raumbeständige Reaktionen ($v=0$) das zweite Glied rechts. Die höchstmögliche Übertemperatur

$$\theta_{\max} = \frac{Q D_{j1} G_E}{v_j l_i} \quad (18)$$

wird dann erreicht, wenn die Ausgangsstoffe j so schnell im Korn abrreagieren, daß von ihnen in der Kornmitte nichts mehr vorhanden ist, also $c_{j0} = 0$ wird. Dann wird natürlich das Kontaktkorn nicht mehr gleichmäßig für den chemischen Umsatz ausgenutzt, d. h. aber: Die Forderung, auch die innersten Kontaktkornteile noch möglichst vollständig für den chemischen Umsatz auszunützen, ist gleichbedeutend mit der Forderung, im Kontaktkorn möglichst isotherm zu arbeiten, und umgekehrt. Die Ausnützung auch der innersten Kontaktkörporen ist also nicht nur eine Frage des Platzbedarfes der Katalysatorfüllung oder eine Frage der Einsparung bei besonders wertvollen Kontaktmaterialien^{a)}, sondern sie erscheint hiernach vielleicht in noch viel höherem Maße als eine Frage der Isothermie. Aber noch zwei weitere Ergebnisse lassen sich aus Gleichung (18) ablesen: Die höchstmögliche Übertemperatur in einem Kontaktkorn ist unabhängig sowohl von der chemischen Reaktionsgeschwindigkeit U als auch vom Kornradius R . Beides würde man reiz/gefährsmäßig zunächst nicht vermuten, insbesondere wenn man bedenkt, daß die Übertemperatur in einem Kontaktkorn sehr wohl von der Reaktionsgeschwindigkeit und dem Ofendurchmesser abhängt^{b)}. Man kann

^{a)} G. DAMKÖHLER, Beitrag in ECCRYS-JICOR, Chem. Ing. III, 1 (1937) 434 ff.

^{b)} G. DAMKÖHLER, Chem. Ing. III, 1 (1937) 447 ff. Allerdings ist bei kleinen Kontaktkörnern eine gleichmäßige Ausnutzung ihrer innersten Poren und damit ein isothermes Arbeiten leichter möglich als bei großen Kontaktkörnern. Vgl. dazu ebenda S. 434 f., Gl. (b 163). Diese Formel ist jedoch durch die neue Arbeit von C. WAGEN (Z. physik. Chem. 193 (1943) 1 ff.) überholt, zumal in Gleichung (b 163)

sich das Ergebnis für das Kontaktkorn aber an Hand der schematischen Abb. 1 klar machen, in der für vier verschiedene Absoluttemperaturen $T_1 < T_2 < T_3 < T_4$ der ungefähre Verlauf der Übertemperatur ϑ angegeben ist. Der Konzentrationsverlauf einer Ausgangskomponente j ist für die vier Fälle gestrichelt eingezeichnet.

ϑ_{\max} hängt nach Gleichung (18) allein ab von der Wärmestönung Q , dem Diffusionskoeffizienten D_{jR} , der Wärmeleitfähigkeit λ_j und der Außenkonzentration c_{jR} .

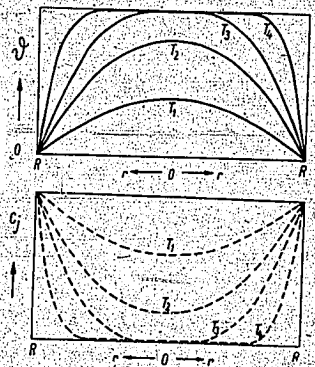


Abb. 1. Temperaturverlauf und Konzentration eines Ausgangsstoffes im Kontaktkorn.

Gleichung (18) dürfte aber nicht nur für raumbeständige, sondern vielleicht auch für raumveränderliche Reaktionen mit $v \neq 0$ gelten, wo zunächst das zweite rechte Glied nicht verschwindet. Steigert man nämlich die mittlere Arbeitstemperatur des Kontaktkornes, so werden

irrtümlicherweise der für das nichtstationäre Auffüllen von Poren maßgebliche Diffusionskoeffizient $D_P = \frac{D_{jg} + A_j D_{ja}}{1 + A_j}$ benutzt wurde, während für das stationär arbeitende Kontaktkorn der auch in der vorliegenden Arbeit vorkommende innere effektive Diffusionskoeffizient D_{ji} von E. Wicke zu verwenden ist.

die einflussdienenden Ausgangsstoffe j , immer schneller abreagieren (vgl. Abb. 1). Die Zone, wo $c_j = 0$ und damit $\theta \approx \theta_{\max}$ wird, schreitet immer weiter an die Kornoberfläche heran, und damit vermindert sich in dem rechten Integral von Gleichung (17) derjenige Teil des Integrationsbereiches, der von Null verschiedene Beiträge liefert. Schließlich wird dieser Bereich sogar selbst Null. Nimmt nun U_K langsamter zu als das Integral ab, so bleibt schließlich nur das erste Glied rechts in Gleichung (17) übrig, und es resultiert Gleichung (18). Zu dem gleichen Ergebnis führt die plausible Annahme, daß einerseits U_K schließlich nur einen Höchstwert annnehmen kann, während das als Faktor auftretende Integral sich beliebig weit der Null nähert, und daß andererseits mit steigender Arbeitstemperatur T die Übertemperatur θ immer nur monoton zunimmt und nicht etwa ein Maximum durchläuft. Man kann also durchaus vermuten, daß Gleichung (18) auch für raumveränderliche Reaktionen gilt. Ein direkter Beweis ist mir allerdings nicht gelungen, und hier dürfte wohl auch allein das Experiment die Entscheidung bringen.

Der Ausdruck (17) bzw. (18) kann dazu dienen, aus der gemessenen Übertemperatur θ_{\max} und dem experimentell bestimmten Diffusionskoefzienten D_{ji} (siehe die angeführten Arbeiten von E. Wicke) die effektive Wärmeleitfähigkeit λ_i des Kontaktkorns zu bestimmen, oder aber umgekehrt, man berechnet sie bei bekannten D_{ji} - und λ_i -Werten aus Q und c_{ji} die höchstmögliche Übertemperatur θ_{\max} . Die letzte Fragestellung bekommt in dem Augenblick Bedeutung, wo für λ_i experimentelle Unterlagen vorhanden sind. Man wird sie daher zunächst mit der ersten Aufgabe beschäftigen müssen und für verschiedene Kontaktarten die λ_i -Werte ermitteln⁷⁾.

Zum Schluß wollen wir noch einige Abschätzungen machen, die naturgemäß allerdings nur sehr roh sein können. In Tabelle I sind die Wärmeleitfähigkeiten einiger Gase zusammengestellt sowie von festen Stoffen, die in ihrem Aufbau den Katalysatoren ähnlich sind. Man erkennt, daß unter den festen Stoffen der die Wärme am schlechtesten leitende Kieselgurstein (in Luft) etwa dieselbe Wärmeleitzahl besitzt wie gasförmiger Wasserdampf, der bei fast allen Hochdruck-

⁷⁾ In gewissen Fällen könnte man natürlich von großen porösen Stücken definierter geometrischer Form (Platten, Rohre) die Wärmeleitfähigkeit nach bekannten Methoden bestimmen und dann durch Zerschlagen dieser Stücke den Katalysator oder das Trägermaterial gewinnen.

Tabelle I. Wärmeleitfähigkeit λ_1 von gasförmigen und festen Stoffen bei 600° C.

Ziff.	Stoff	λ_1		Zitat
		kal. m · h · grd	cal. cm · s · grd	
1	H_2 bei 1 Atm.	0.32	$89 \cdot 10^{-4}$	Chem. Ing. I, 1 (1933) 325.
2	Luft bei 1 Atm.	0.044	$122 \cdot 10^{-4}$	Chem. Ing. I, 1 (1933) 325.
3	H_2O bei 1 Atm.	0.013	$119 \cdot 10^{-4}$	Chem. Ing. I, 1 (1933) 325.
	" "	0.004	$178 \cdot 10^{-4}$	B. Koch und W. Furtz, Wärme- und Kältetechnik 1940, 113-117.
	" 300	0.100	$278 \cdot 10^{-4}$	
4	Kieselgurstein, 70% Porenvol.	0.12	$33 \cdot 10^{-4}$	
	" 40% "	0.08	$13 \cdot 10^{-4}$	Chem. Ing. I, 1 (1933) 318.
5	Kaolin, Schamotte, Tonstein mit 51% SiO_2 , Porenvol. > 30%	0.04 ± 1.0	$(17 \pm 28) \cdot 10^{-4}$	Chem. Ing. I, 1 (1933) 340.
6	Poroklas (MgO)	12	$33 \cdot 10^{-4}$	Chem. Ing. I, 1 (1933) 340.
	Magnesitstein, 30% Porenvol.	4	$11 \cdot 10^{-4}$	Chem. Ing. I, 1 (1933) 355.
7	Carborund	28	$78 \cdot 10^{-4}$	Chem. Ing. I, 1 (1933) 342.
	Carborundstein, 35% Porenvol.	17	$47 \cdot 10^{-4}$	Chem. Ing. I, 1 (1933) 355.
8	Quarzglas und anderes Glas	≈ 1.2	$\approx 33 \cdot 10^{-4}$	Chem. Ing. I, 1 (1933) 330.
9	Eisen (99.2%) kompakt	90	$63 \cdot 10^{-4}$	Chem. Ing. I, 1 (1933) 357.
10	Korund (Al_2O_3)	4.9	$12 \cdot 10^{-4}$	Chem. Ing. I, 1 (1933) 342.

synthesen austritt. Aus Ziffer 6 und 7 erkennt man, daß mit abnehmendem Porenvolumen die effektive Wärmeleitfähigkeit sinkt und daß dagegen bei 30% Porenvolumen nur mehr ein Drittel der Wärmeleitfähigkeit des kompakten Materials zu betrügen braucht. Bei Katalysatoren muß man jedoch mit noch kleineren Werten rechnen; denn einerseits ist bei Ihnen ein Porenvolumen von 50% keine Seltenheit, andererseits sucht man bei der Kontaktherstellung möglichst jede Sinterung und damit Brückebildung zwischen den einzelnen Kerntstellen zu verhindern, während dieser letztere Punkt bei feuerfesten Steinen nur eine untergeordnete Rolle spielt. Hat man es insbesondere mit dem Fe-Katalysator bei der NH_3 -Synthese zu tun, so benutzt man dabei in der Regel noch Zusätze, wie z. B. Al_2O_3 , da die einzelnen Fe-Kristalle (10^{-4} cm Durchmesser) voneinander trennen soll, damit aber auch die Wärmeleitfähigkeit gegenüber kompaktem Fe herabgesetzt.

Tabelle 2. Abschätzung der inneren Kontakt-

Reaktion:	$SO_3 + \frac{1}{2} O_2 \rightarrow SO_4$	$N_2 + 3 H_2 \rightarrow 2 NH_3$
Druck (Atm.)	1	200
Temperatur ($^{\circ}$ abs.)	773	773
Ausgangsgas:	$7 SO_3 + 10 O_2 + 83 N_2$	$23 N_2 + 75 H_2$
Gleichgewichtsgas	$7 SO_3 + 7 O_2 + 86 N_2$	$20 NH_3 + 20 N_2 + 60 H_2$
$c_{j,R}$ (mol/cm ³)	$SO_3: 1 \cdot 10 \cdot 10^{-4}$	$N_2: 7.87 \cdot 10^{-4}$
$c_{j,0}$ (mol/cm ³)	$SO_3: \approx 0$	$N_2: 6.30 \cdot 10^{-4}$
$(c_{j,R} - c_{j,0})$ (mol/cm ³)	$SO_3: 1 \cdot 10 \cdot 10^{-4}$	$N_2: 1.57 \cdot 10^{-4}$
$D_{j,g}$ (cm ² /s)	≈ 10	$\approx 2 \cdot 10^{-2}$
$D_{j,l}$ (cm ² /s)	$\approx 5 \cdot 10^{-4}$	$\approx 1 \cdot 10^{-4}$
Kontakt:	$V_2 O_5$ auf keramischem Träger	$Fe - Al_2 O_3 - K_2 O$
λ_j (cal/cm · s · grd)	$3 \cdot 10^{-2}$	$1 \cdot 10^{-3}$
Q/ν_j (cal/mol)	$2 \cdot 3 \cdot 10^4$	$1.3 \cdot 10^4$
$\vartheta_{\max} \approx$	$0.42^{\circ} C$	$0.20^{\circ} C$
$\nu_j \lambda_j$		

Als ganz rohe Schätzung könnte man bei $500^{\circ} C$ für einen metallischen Katalysator mit oxydischen Zuschlägen wohl $\lambda_j \approx 1 \cdot 10^{-3}$ cal/cm · s · grd annehmen, für einen oxydischen oder sulfidischen dagegen $\lambda_j \approx 3 \cdot 10^{-3}$ cal/cm · s · grd.

Diese Zahlenwerte wurden in Tabelle 2 benutzt, in der für einige bekannte Synthesereaktionen die möglichen inneren Kontaktkornüberhitzungen abgeschätzt wurden. Sie sind auffallend gering (letzte Zeile der Tabelle 2) und für die SO_3 -Kontaktsynthese bzw. Benzin-synthese bei Atmosphärendruck sowie die Hochdrucksynthesen von gleicher Größenordnung. Der Grund dafür liegt darin, daß in Gleichung (17) stets das Produkt $D_{j,l} \cdot (c_{j,R} - c_{j,0})$ vorkommt, und dieses ist vom Druck unabhängig, wenn sich der innere Diffusionskoeffizient $D_{j,l}$ genau so wie der Diffusionskoeffizient $D_{j,g}$ in der unbegrenzten Gasphase umgekehrt proportional dem Druck verändert würde. Dieses wurde in Tabelle 2 der Einfachheit halber einmal angenommen ($D_{j,l} = \frac{1}{m} D_{j,g}$), braucht aber in Wirklichkeit nicht der Fall zu sein, da die Oberflächendiffusion noch mitspielen kann. Dann also müßte man mit höheren Überhitzungstemperaturen rechnen. Ferner bekäme man beim SO_3 -Kontaktprozeß größere ϑ_{\max} -Werte, wenn man nicht von dem natürlichen Röstgas mit 83 % N_2 ausginge,

*). Chem. Ing. III, 4 (1939) 131, Fig. 131. *) Die Abweichungen vom idealen Gasgesetz wurden wegen der erheblich größeren Unsicherheiten bei $D_{j,l}$ und λ_j vernachlässigt.

Kornüberhitzung bei einigen Synthesen

$N_2 + 3H_2 \rightarrow 2NH_3$	$CO + 2H_2 \rightarrow CH_3OH$	$4CO + 9H_2 \rightarrow C_4H_{10} + 4H_2O$
1000	240	1
773	673	677
$25N_2 + 75H_2$	$33CO + 67H_2$	$21CO + 60H_2$
$57NH_3 + 11N_2 + 32H_2$)	$10CH_3OH + 30CO + 60H_2$) ¹⁰⁾	$5CO + 11H_2 + 17C_4H_{10} + 67H_2O$) ¹¹⁾
$N_2: 3 \cdot 10^{-3}$	$CO: 1 \cdot 43 \cdot 10^{-3}$	$CO: 0 \cdot 85 \cdot 10^{-3}$
$N_2: 1 \cdot 73 \cdot 10^{-3}$	$CO: 1 \cdot 30 \cdot 10^{-3}$	$CO: 1 \cdot 05 \cdot 10^{-3}$
$N_2: 2 \cdot 21 \cdot 10^{-3}$	$CO: 1 \cdot 2 \cdot 10^{-3}$	$CO: 5 \cdot 50 \cdot 10^{-4}$
$\approx 4 \cdot 10^{-3}$	$\approx 2 \cdot 10^{-3}$	2°6
$\approx 2 \cdot 10^{-4}$	$\approx 1 \cdot 10^{-3}$	0'13
$Fe-Al_2O_3-K_2O$	ZnO	($Fe-O-C_2H_5-THO_4$)
$1 \cdot 10^{-2}$	$3 \cdot 10^{-1}$	$1 \cdot 10^{-1}$
$1 \cdot 3 \cdot 10^4$	$23 \cdot 10^1$	$4 \cdot 2 \cdot 10^1$
0.57° C	10° C	30° C

sondern von dem unverdünnten stöchiometrischen Gemisch $2SO_2 + O_2$. Bei den beiden Hochdrucksynthesen sieht man ferner, daß wegen der relativ ungünstigen Lage der Gleichgewichte die Differenz $c_{j_R} - c_{j_N}$ keineswegs mit c_{j_R} selbst identisch wird, wie in Gleichung (18) angenommen wurde. Schließlich bekommt man noch höhere Übertemperaturen, wenn die effektiven Wärmeleitfähigkeiten λ_1 unter den angenommenen Werten von $3 \cdot 10^{-1}$ bzw. $1 \cdot 10^{-2}$ liegen. Bei dem SO_2 -Kontaktprozeß (Spalte 2) und vielleicht auch bei der NH_3 - und Butansynthese (Spalten 3 und 4) wäre das noch denkbar, bei der CH_3OH -Synthese (Spalte 5) jedoch kaum, da λ_1 selbstverständlich nicht unter den Wert für gasförmigen H_2 herabsinken kann. Daß die Butansynthese in der letzten Spalte von Tabelle 2 eine höhere Übertemperatur ergibt, beruht hauptsächlich auf der größeren Reaktionswärme und der größeren Ausbute.

Zusammenfassend können wir aus Tabelle 2 schließen: Die in Kontaktkörnern auftretenden Überhitzungstemperaturen sind, soweit es die wärmelichtungsmäßig erfassbaren mittleren Gerüstteile betrifft, im allgemeinen klein. Es müssen schon außergewöhnliche Verhältnisse vorliegen (wie z. B. besonders starke Oberflächendiffusion, sehr großes Porenvolumen und damit geringe innere Wärmeleitfähigkeit, kein

¹⁰⁾ Chem. Ing. III, 4 (1939) 140, Fig. 15. ¹¹⁾ Chem. Ing. III, 1 (1937) 170; die dort angegebene Gleichgewichtszusammensetzung erfüllt allerdings die angeführte Formel für die Gleichgewichtskonstante nicht für $T = 638^\circ$, sondern 577° ab.

Wasserstoff, möglichst 100%iger Umsatz, besonders hohe Reaktionswärme usw.), wenn Übertemperaturen von 10°C oder mehr auftreten sollen. Zu diesem Ergebnis war auch schon Herr Prof. Dr. CARL WAGNER (Darmstadt) gelangt, wie er mir gesprächsweise mitteilte.

Allerdings bleibt immer noch die eine Frage offen: Ist die Temperatur oder jetzt besser die Wärmebewegung des einzelnen aktiven Zentrums, an dem sich die Reaktion abspielt, identisch mit der behandelten Gerüsttemperatur oder nicht? Diese Frage ist keineswegs so einfach zu beantworten. Für sie wird wesentlich sein, in welcher Weise das einzelne aktive Zentrum an oder im Kontaktkorngitter verankert ist. Es wäre wohl lohnend, auch dieses Problem einmal näher zu verfolgen, wobei man allerdings jetzt in stärkerem Maße atomistische Vorstellungen (wie z. B. Wärmeleitung in einer Atomkette usw.) heranziehen müßte.

Die Arbeit ist im Anschluß an unregelmäßige Unterhaltungen mit Herrn Prof. Dr. CARL WAGNER (Eduard-Zintl-Institut der Technischen Hochschule Darmstadt) entstanden, für die ich ihm herzlich danke.

Braunschweig, Institut für Motorenforschung der Luftfahrtforschungsanstalt Hermann Göring.